

# $\text{Ga}_{0.47}\text{In}_{0.53}\text{As}/\text{SiO}_2$ 与 $\text{Ga}_{0.47}\text{In}_{0.53}\text{As}/\text{Al}_2\text{O}_3$ 的界面性质

江若莲 郑有料 傅浩 邵建军

(南京大学物理系)

黄善祥

(南京电子器件研究所)

1988年8月19日收到

本文研究了  $\text{GaInAs}/\text{SiO}_2$  与  $\text{GaInAs}/\text{Al}_2\text{O}_3$  的界面性质。采用 PECVD 技术以 TEOS 为源以及采用 MOCVD 技术以  $\text{Al}(\text{OC}_2\text{H}_5)_3$  为源在  $n^+-\text{InP}$  衬底的  $n-\text{Ga}_{0.47}\text{In}_{0.53}\text{As}$  外延层上淀积了  $\text{SiO}_2$  和  $\text{Al}_2\text{O}_3$ , 制备成 MIS 结构。结果表明这些 MIS 结构具有良好的 C-V 特性,  $\text{SiO}_2/\text{GaInAs}$  界面态密度最低达  $2.4 \times 10^{11} \text{ cm}^{-2}\text{eV}^{-1}$ , 氧化物陷阱电荷密度达  $10^9 \sim 10^{10} \text{ cm}^{-2}$ , 观察到  $\text{GaInAs}/\text{SiO}_2$  结构中的深能级位置为  $E_C - E_T = 0.39 \text{ eV}$ ,  $\text{GaInAs}/\text{Al}_2\text{O}_3$  结构中的深能级位置为  $E_C - E_T = 0.41 \text{ eV}$ 。

**主题词:** MIS 结构, 等离子增强化学汽相淀积, 金属有机化合物化学汽相淀积, C-V 特性, 深能级瞬态谱, 界面态, 氧化物陷阱电荷, 深能级。

## 一、引言

近年来,  $\text{GaInAs}$  三元化合物半导体的研究受到国内外的重视, 因为这种材料具有比  $\text{GaAs}$ 、 $\text{InP}$  更高的电子迁移率、大的饱和漂移速度以及具有合适的禁带宽度, 它是制作高速、微波、光电器件的有潜在前景的新型材料<sup>[1-4]</sup>。由于  $\text{GaInAs}$  与绝缘层之间具有较低的界面态密度, 适于发展绝缘栅场效应器件, 而发展  $\text{GaInAs}$  场效应器件的关键在于  $\text{GaInAs}$  上绝缘层的生长方法以及  $\text{GaInAs}$  与栅绝缘层之间的良好的界面性质。

本文报道了  $\text{Al-SiO}_2-\text{GaInAs}$  和  $\text{Al-Al}_2\text{O}_3-\text{GaInAs}$  两种 MIS 结构的样品制备以及用高频 C-V、准静态与高频 C-V 联合测量和深能级瞬态谱 (DLTS) 测量对其界面性质的分析研究。

## 二、样品制备

为了研究  $\text{GaInAs}/\text{SiO}_2$  和  $\text{GaInAs}/\text{Al}_2\text{O}_3$  界面性质, 需要制成  $\text{GaInAs}$  MIS (金属-绝缘层-半导体) 结构。

在  $\langle 100 \rangle$  晶向掺 Sn 的  $n^+-\text{InP}$  衬底上用氯化物汽相外延方法生长了  $n-\text{Ga}_{0.47}\text{In}_{0.53}\text{As}$ ,

层<sup>[3]</sup>。外延层厚度 4—7 μm，载流子浓度为  $9 \times 10^{14}$ — $8 \times 10^{15} \text{ cm}^{-3}$ 。

在 GaInAs (为简洁起见,以下 Ga、In 的脚标 0.47、0.53 就不再写上) 外延层上用等离子增强化学气相沉积 (PECVD) 技术以正硅酸乙酯 (TEOS: tetraethoxy-silane) 为

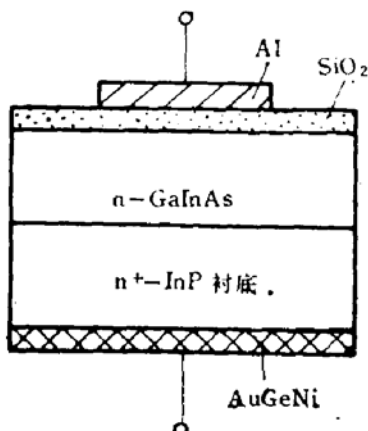


图 1 Al-SiO<sub>2</sub>-GaInAs MIS 结构剖面示意图

源, 在氧气气氛的辉光放电等离子区中沉积 SiO<sub>2</sub> 膜<sup>[6]</sup>。沉积条件为: 样品温度 250—300℃, 产生等离子体的射频功率 20W, TEOS 温度 20℃。GaInAs 外延片在沉积前用常规的有机溶剂甲苯、丙酮、乙醇等清洗后, 进炉前在 HF:H<sub>2</sub>O = 1:1 的溶液中漂 30 秒, 以去除表面氧化物薄层。SiO<sub>2</sub> 膜的沉积厚度为 1000—2400 Å。沉积后紧接着在原炉温(250—300℃)下 N<sub>2</sub> 气氛保护中退火 20 分钟。

Al<sub>2</sub>O<sub>3</sub> 膜是用 MOCVD 技术以异丙醇铝 Al(OC<sub>3</sub>H<sub>7</sub>)<sub>3</sub> 为源在卧式、冷壁、正压的反应系统中沉积在 GaInAs 外延片上的<sup>[7]</sup>。

在沉积过程中, 取沉积温度为 300℃。GaInAs 外延片进入系统沉积前的清洗同前述沉积 SiO<sub>2</sub> 膜的一样。沉积 Al<sub>2</sub>O<sub>3</sub> 膜后, 紧接着在高纯 N<sub>2</sub> 气氛中 300℃ 下退火 20 分钟。Al<sub>2</sub>O<sub>3</sub> 膜厚 1000—2000 Å。

GaInAs 外延层上绝缘膜沉积完毕后, 在绝缘膜 SiO<sub>2</sub> 和 Al<sub>2</sub>O<sub>3</sub> 表面真空蒸发 Al 为金属栅电极, 样品衬底 (n<sup>+</sup>-InP) 的背面用电子束蒸发 AuGeNi 合金, 并在 400℃、N<sub>2</sub> 气氛中合金化 2 分钟形成欧姆接触。这样就制成了 Al-SiO<sub>2</sub>-GaInAs 和 Al-Al<sub>2</sub>O<sub>3</sub>-GaInAs 两种 MIS 样品。其结构剖面示意图见图 1。

### 三、GaInAs MIS 结构的 C-V 特性

采用高频 C-V 测量、准静态与高频 C-V 联合测量来表征实验制取的 GaInAs MIS 结构的界面电学特性。

#### 1. Al-SiO<sub>2</sub>-GaInAs MIS 结构的高频 C-V 特性

图 2 是 Al-SiO<sub>2</sub>-GaInAs MIS 结构的典型高频 (1MHz) C-V 曲线。可以看到, C-V 曲线光滑, 呈现出典型的积累、耗尽、反型特征, 没有通常因界面态密度过高引起的曲线畸变, 为一较理想的 C-V 曲线。

C-V 曲线的最小电容  $C_{min}$  为 52 pF, 与理论计算结果 49 pF 基本相符, 表明该 MIS 结构没有出现界面态密度过高引起的对费米能级的钉扎现象。

理论计算出 Al-GaInAs 功函数差  $\phi_{MS}$  为 -0.38V, 而实验测得的平带电压  $V_{FB}$  为 -0.5V, 由公式

$$V_{FB} = \phi_{MS} - \frac{Q_s}{C_i}$$

(式中  $C_i$  表示单位面积绝缘层电容) 可知 SiO<sub>2</sub> 膜中(包括 SiO<sub>2</sub>/GaInAs 界面) 氧化物陷阱电荷  $Q_s$  为正电荷, 估算出其密度为  $2 \times 10^{10} \text{ cm}^{-2}$ 。对一系列的样品测试表明, SiO<sub>2</sub>

膜中氧化物陷阱电荷绝大多数为正,且密度不很高,在  $10^9$ — $10^{10}\text{cm}^{-2}$  范围。

一般化合物半导体材料的 MIS 电容,其 C-V 曲线通常都存在滞后现象。这种现象将导致制成的场效应器件电学性能的不稳定,这是目前发展化合物半导体 MIS 器件碰到的困难问题。滞后量的大小与绝缘层的生长方法,工艺处理有很大关系。用本实验的淀积和工艺处理方法,可将滞后量减到相当小,如图 2 所示,滞后量  $<0.1\text{V}$ ,C-V 曲线的滞后方向是顺时针的,反映了滞后是由界面慢陷阱态造成的。

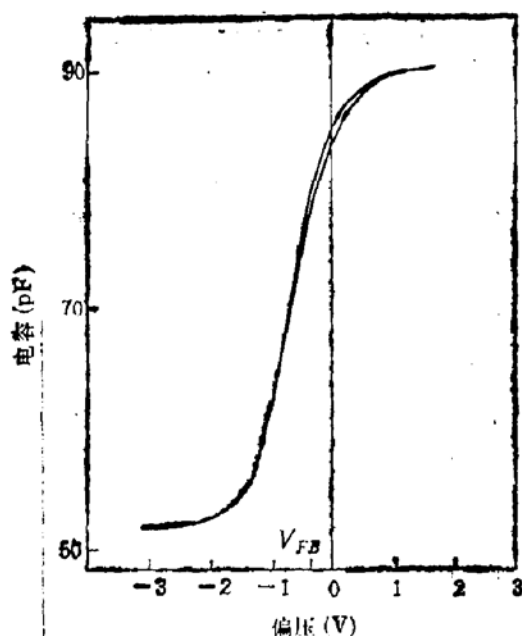


图 2 Al-SiO<sub>2</sub>-GaInAs 样品的典型高频 C-V 曲线

$$x_0 = 2400 \text{ \AA}, A = 2.83 \times 10^{-3} \text{ cm}^2$$

$$N_D = 7.8 \times 10^{11} \text{ cm}^{-3}$$

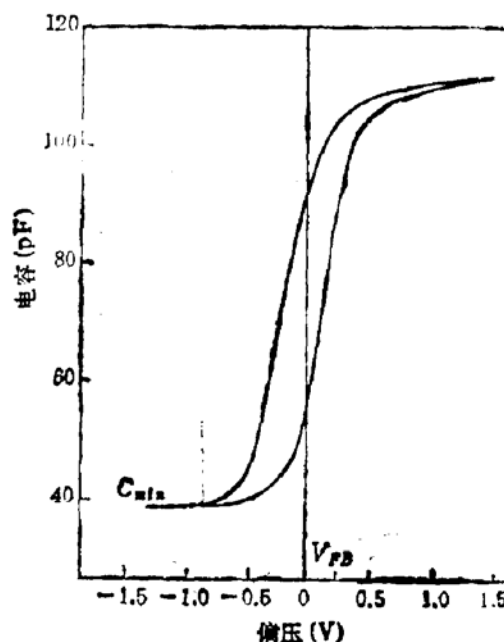


图 3 Al-Al<sub>2</sub>O<sub>3</sub>-GaInAs 样品的典型高频 C-V 曲线

$$x_0 = 1500 \text{ \AA}, A = 2.83 \times 10^{-3} \text{ cm}^2$$

$$N_D = 3 \times 10^{11} \text{ cm}^{-3}$$

## 2. Al-Al<sub>2</sub>O<sub>3</sub>-GaInAs MIS 结构的高频 C-V 特性

图 3 是 Al-Al<sub>2</sub>O<sub>3</sub>-GaInAs MIS 电容的典型高频 C-V 曲线。可以看到,也属较好的 C-V 特性,但滞后量较上述 Al-SiO<sub>2</sub>-GaInAs 样品稍大,这可能与 Al<sub>2</sub>O<sub>3</sub> 膜的生长条件有关。理论计算其最小电容为 43pF,与实测的 39pF 基本相符,说明该 MIS 结构亦可受偏压调制到反型状态。

由曲线计算出 C-V 曲线的平带电压为 +0.24V,而该样品的功函数差为 -0.41V,由此可求得 Al<sub>2</sub>O<sub>3</sub> 膜的氧化物陷阱电荷为负值,且其密度约为  $2 \times 10^{11}\text{cm}^{-2}$ ,比 Al-SiO<sub>2</sub>-GaInAs 样品大些。大量的测试表明,Al<sub>2</sub>O<sub>3</sub> 膜中存在负电荷,前述 SiO<sub>2</sub> 膜中却存在正电荷,两者是不相同的,这与文献报道一致<sup>[8]</sup>。可以利用这种性质,做成 SiO<sub>2</sub>-Al<sub>2</sub>O<sub>3</sub> 复合膜,改变 SiO<sub>2</sub> 或 Al<sub>2</sub>O<sub>3</sub> 膜的厚度以自由调整平带电压的正、负数值,从而改变以这种复合膜为绝缘栅的 MIS 器件的阈值电压。

由图 3 看出,C-V 曲线的滞后方向仍为顺时针,滞后量稍大,约有 0.3V,说明界面慢陷阱密度较 GaInAs/SiO<sub>2</sub> 的为大。

对上述两种 GaInAs MIS 结构的 C-V 测量改变了偏压的扫描时间,发现当扫描时间加长,C-V 滞后量减小,图 2、图 3 所示曲线偏压扫描半周期是 20 秒,当扫描半周期

加长到 100 秒以上,  $C-V$  滞后量减小一半以上, 但不能完全消除。这说明界面慢陷阱态的时间常数大小不等, 大部分在 100 秒以内。

### 3. Al-SiO<sub>2</sub>-GaInAs MIS 结构的界面态

为了解 GaInAs/SiO<sub>2</sub> 界面的界面态密度及其随禁带中能量的分布, 进行了准静态  $C-V$  与高频  $C-V$  联合测量<sup>[9]</sup>。一般化合物半导体 MIS 电容常因漏电大很难进行准静态  $C-V$  测量, 本样品能够测量出准静态  $C-V$  曲线表明本实验方法淀积的 SiO<sub>2</sub> 膜具有良好的绝缘性能。

图 4 是 Al-SiO<sub>2</sub>-GaInAs MIS 样品的准静态与高频  $C-V$  联合测量结果。其中准静态  $C-V$  扫描速率为 250mV/S。经计算求得平带到本征能量范围的界面态密度, 图 5 给出界面态密度  $N_{ss}$  随能量  $E_c - E_f$  的分布曲线。图 5 指出, 靠近带边处界面态密度  $N_{ss}$  较高, 随着指向带隙中央, 界面态密度降低, 经过一个最低点 ( $N_{ss}$  为  $2.4 \times 10^{11} \text{ cm}^{-2} \cdot \text{eV}^{-1}$ ) 后,  $N_{ss}$  又有些回升。这种分布与一般的界面态分布一致。

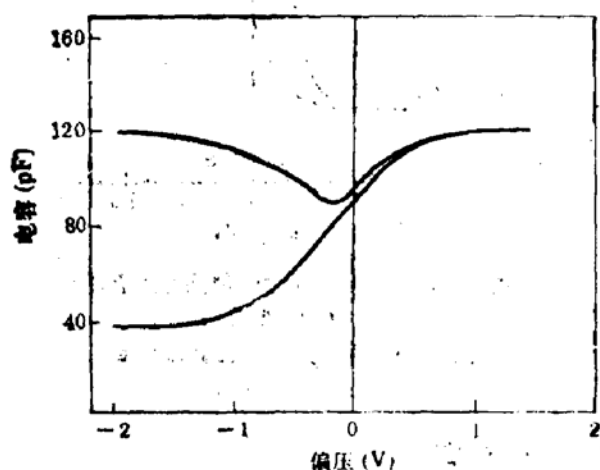


图 4 Al-SiO<sub>2</sub>-GaInAs 样品的准静态与高频  $C-V$  联合测量曲线

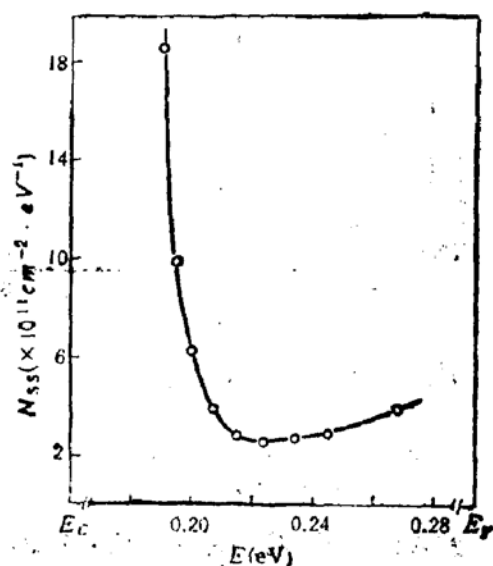


图 5 GaInAs/SiO<sub>2</sub> 界面态密度随能量的分布曲线

对以上两种 GaInAs MIS 样品的  $C-V$  测量结果看出, SiO<sub>2</sub>/GaInAs 和 Al<sub>2</sub>O<sub>3</sub>/GaInAs 界面, 特别是前者, 其界面态密度较低, 平带电压较低, 滞后较小, 说明 GaInAs 材料与绝缘膜 SiO<sub>2</sub>、Al<sub>2</sub>O<sub>3</sub> 的界面性质比 InP 的相应的绝缘膜界面性质更为优良<sup>[6,7]</sup>, 这给研制具有更高质量的 GaInAs MIS 场效器件带来希望。GaInAs 材料比 InP 优越, 可能是 GaInAs 与 SiO<sub>2</sub>、Al<sub>2</sub>O<sub>3</sub> 之间的晶格失配小, 汽相外延层 GaInAs 表面晶体缺陷少等原因, 这方面的工作有待于进一步分析研究。

### 四、GaInAs MIS 结构的 DLTS 测量与分析

为了进一步研究 GaInAs MIS 结构界面的电学性质, 用深能级瞬态谱 (DLTS) 测量分析样品的深能级、界面态情况。实验采用 NJ-M-DLTS 谱仪对两种 GaInAs MIS 结构进行了测量, 测量的温度范围为 77—310K。

### 1. Al-SiO<sub>2</sub>-GaInAs MIS 样品的 DLTS 谱

图 6 示出 Al-SiO<sub>2</sub>-GaInAs MIS 样品的典型 DLTS 谱图。可以看到，在 77—310K 温度范围内出现一个明显的电子陷阱谱峰。为了判别该峰是由深能级还是界面态产生的，做了下列测量：改变偏压  $V_p$  ( $V_r$  不变，取为零伏)；改变  $V_r$  ( $V_p$  不变，取为刚反型时电压 -1.8V)，都发现谱峰的温度位置几乎不变，仅峰的高度发生了改变(见图 7(a), (b))，表明所观察到的谱峰是由 SiO<sub>2</sub>/GaInAs 结构中的深能级引起的。这是因为改变  $V_p$  或  $V_r$ ，就改变了空间电荷区宽度或能带的弯曲程度，由于界面态在禁带中是连续分布的，因而  $V_p$  或  $V_r$  的改变不仅使谱峰的高度会变化，而且谱峰位置会发生移动。而对于深能级，如果是单一能级，在某一温度下的发射率是相同的，与偏压无关，改变  $V_p$  或  $V_r$  只会引起峰值高度变化而不会引起峰值温度位置的变化。

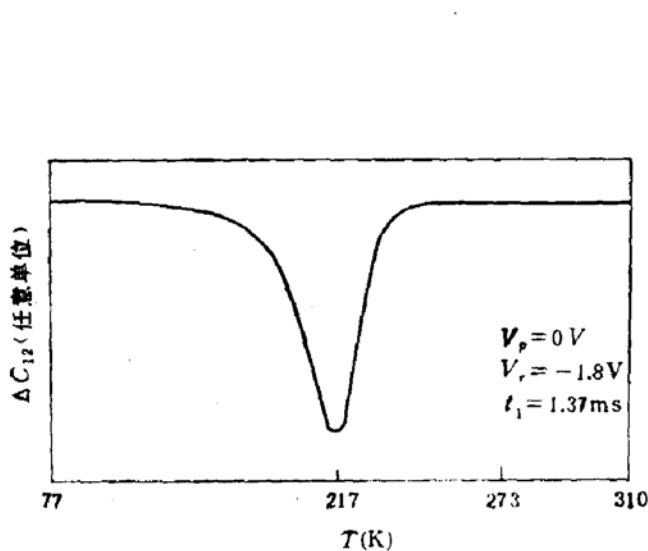


图 6 Al-SiO<sub>2</sub>-GaInAs 样品的典型 DLTS 谱图

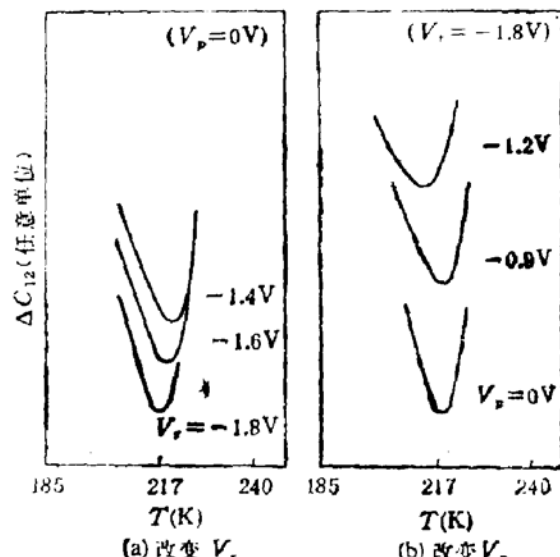


图 7 Al-SiO<sub>2</sub>-GaInAs 样品，分别改变  $V_p$  和  $V_r$ ，DLTS 谱峰的变化图

通过改变率窗进行测量，并根据下列关系式计算出深能级参量<sup>[10]</sup>：

$$\text{深能级位置} \quad E_c - E_T = k \cdot \frac{T_p' \cdot T_p''}{\Delta T_p} \cdot \ln \left[ \frac{t_1'}{t_1''} \right]$$

$$\text{俘获截面} \quad \sigma_n(E_T, T_p') = \frac{\ln \frac{t_2}{t_1}}{(v_{th} \cdot N_c) r_p' \cdot (t_2' - t_1')} \cdot \left[ \frac{t_1'}{t_1''} \right] \frac{T_p'}{\Delta T_p}$$

$$\text{深能级密度} \quad N_T = \frac{8 \Delta C_{12}^p}{C} (N_D - N_A)$$

式中  $k$  为波兹曼常数； $t_1$ 、 $t_2$  为对瞬态发射电容  $\Delta C(t)$  取样的时刻，在该仪器中给定  $t_2 = 2t_1$ ；DLTS 谱讯号  $\Delta C_{12} = \Delta C(t_1) - \Delta C(t_2)$ ； $\Delta C_{12}^p$  为谱峰的高度； $T_p'$ 、 $T_p''$  为两次取样时间(即两个率窗)  $t_1'$ 、 $t_1''$  所对应的两个深能级谱峰的温度位置； $\Delta T_p$  为这两峰的温度差即  $\Delta T_p = T_p(t_1') - T_p(t_1)$ ； $v_{th}$  为电子的平均热运动速度； $N_c$  为导带有效态密度。

在计算中取样品的参数为： $N_D = 7.8 \times 10^{15} \text{ cm}^{-3}$ ， $v_{th} = 1.17 \times 10^7 \text{ cm/s}$ ， $N_c = 4.7 \times 10^{17} \text{ cm}^{-3}$ ， $t_2 = 2t_1$ ，求得 GaInAs/SiO<sub>2</sub> 结构的深能级参数为：

$$E_c - E_T = 0.39 \text{ eV}$$

$$\sigma_a = 2.7 \times 10^{-17} \text{ cm}^2$$

$$N_T = 0.3 N_D = 2.3 \times 10^{15} \text{ cm}^{-3}$$

## 2. Al-Al<sub>2</sub>O<sub>3</sub>-GaInAs MIS 样品的 DLTS 谱

对 Al-Al<sub>2</sub>O<sub>3</sub>-GaInAs MIS 样品进行了 DLTS 测量，得出如图 8 的典型谱图。在

77—310K 范围也只出现一个电子陷阱峰。用与上述同样的方法改变  $V_p$  及  $V'$  大小，谱峰位置不变，从而判断该峰是深能级的贡献。

经测量和计算，求得 GaInAs/Al<sub>2</sub>O<sub>3</sub> 结构中的深能级参数如下：

$$E_c - E_T = 0.41 \text{ eV}$$

$$\sigma_a = 5 \times 10^{-17} \text{ cm}^2$$

$$N_T = 0.1 N_D = 3 \times 10^{14} \text{ cm}^{-3}$$

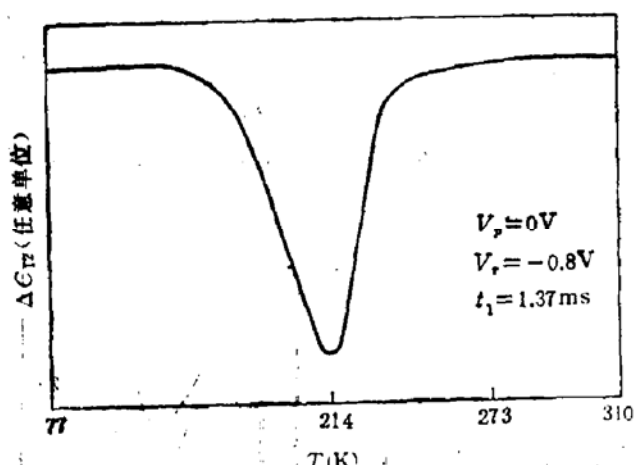


图 8 Al-Al<sub>2</sub>O<sub>3</sub>-GaInAs 样品的典型 DLTS 谱图

由于 Al-SiO<sub>2</sub>-GaInAs 和 Al-Al<sub>2</sub>O<sub>3</sub>-GaInAs 两种 MIS 结构中的深能级还未见有报道，所以本文测得的结果还不能作比较，但值得指出的是，测得两种样品的深能级位置和俘获截面都很相近，只是能级密度有些差异，这表明深能级的产生与绝缘膜的类型关系不大，只是影响其深能级密度。因此，可以认为所测到的深能级可能是 GaInAs 表面本征缺陷所致，详细机制有待进一步研究。

在 DLTS 测量中，两种样品的界面态峰未能出现，我们认为可能是在这个温度范围内界面态密度比深能级密度低得多，界面态讯号相对地很弱，因此，在谱图中未能反映出来。

## 五、结 论

1. Al-SiO<sub>2</sub>-GaInAs, Al-Al<sub>2</sub>O<sub>3</sub>-GaInAs 两种 MIS 结构的样品具有良好的 C-V 特性：C-V 曲线光滑，无明显畸变，界面态密度不高 ( $2.4 \times 10^{11} \text{ cm}^{-2} \cdot \text{eV}^{-1}$ )，平带电压低 ( $\pm 0.5 \text{ V}$  以内)，曲线滞后量小 ( $0.4 \text{ V}$  以内， SiO<sub>2</sub> 样品更小)， SiO<sub>2</sub> 膜中氧化物陷阱电荷为正，其密度  $10^9$ — $10^{10} \text{ cm}^{-2}$ ；而 Al<sub>2</sub>O<sub>3</sub> 膜中氧化物陷阱电荷为负，密度为  $10^{11}$ — $10^{12} \text{ cm}^{-2}$ 。以上结果表明本实验制得的 GaInAs/SiO<sub>2</sub>, GaInAs/Al<sub>2</sub>O<sub>3</sub> 界面电学性能良好，为制备 GaInAs MIS 场效应器件打下了基础。

2. GaInAs 材料与 SiO<sub>2</sub>、Al<sub>2</sub>O<sub>3</sub> 的界面性能比 InP 材料的要优越，而且 GaInAs 的电子迁移率比 InP 要高，可以期望，GaInAs MIS 场效应器件在沟道有效电子迁移率、跨导及阈值电压等方面的性能将更优于 InP MISFET<sup>[11]</sup>。

3. 对 GaInAs/SiO<sub>2</sub> MIS 结构和 GaInAs/Al<sub>2</sub>O<sub>3</sub> MIS 结构的 DLTS 测量，首次观察到分别存在  $E_c - E_T = 0.39 \text{ eV}$  和  $E_c - E_T = 0.41 \text{ eV}$  的深能级。

4. 良好的 GaInAs MIS 结构的 C-V 特性表明，文中所用的正硅酸乙酯-PECVD 技

术淀积  $\text{SiO}_2$  膜和异丙醇铝-MOCVD 技术淀积  $\text{Al}_2\text{O}_3$  膜对发展 GaInAs MIS 器件是可行的。

本工作得到南京电子器件研究所四室,南京大学孙勤生副教授、高维忠同志以及原南京大学学生韩平、王仁康的帮助,在此表示衷心感谢!

### 参 考 文 献

- [1] P. D. Gardner, S. Y. Narayan and Y. H. Yun, *Thin Solid Films*, 117, 173(1984).
- [2] C. L. Cheng, A. S. H. Liao, T. Y. Chang, R. F. Lecheng, L. A. Coldren and Lalevic, *IEEE Electron Device Lett.*, EDL-5, 169(1984).
- [3] J. Selders and Heinz Beneking, *IEEE Electron Device Lett.*, EDL-7, 434(1986).
- [4] R. N. Nottenburg, H. Temkin, M. B. Panish and R. A. Hamm, *Appl. Phys. Lett.*, 49, 1112(1986).
- [5] 黄善祥, 固体电子学研究与进展, 7, 65 (1987).
- [6] 江若琏, 徐俊明, 刘青淮, 王凯, 郑有焯, 半导体学报, 6, 429 (1985).
- [7] Han Ping(韩平), Zheng Youdou (郑有焯) and Jian Ruolian (江若琏), *Asia Pacific Symposium on Surface Physics*, 336, Editor, Xie Xide, World Scientific (1987).
- [8] 梁庭亭编译, 半导体器件表面纯化技术, 第四部分, 科学出版社, 1979.
- [9] M. Kuhu, *Solid State Electronic*, 13, 873(1970).
- [10] N. M. Johnson, *J. Vac. Sci. Technol.*, 21, 303(1982).
- [11] 江若琏, 郑有焯, 王仁康, 半导体学报, 9, 451 (1988).

## Interface Properties of $\text{Ga}_{0.47}\text{In}_{0.53}\text{As}/\text{SiO}_2$ and $\text{Ga}_{0.47}\text{In}_{0.53}\text{As}/\text{Al}_2\text{O}_3$

Jian Ruolian, Zheng Youdou, Fu Huao and Shao Jianjun

(Department of Physics, Nanjing University)

Huang Shanxiang

(Nanjing Electronic Devices Institute)

### Abstract

The interface properties of GaInAs/SiO<sub>2</sub> and GaInAs/Al<sub>2</sub>O<sub>3</sub> are studied. The Al-SiO<sub>2</sub>-GaInAs and Al-Al<sub>2</sub>O<sub>3</sub>-GaInAs MIS structures were fabricated by PECVD SiO<sub>2</sub> using TEOS and MOCVD Al<sub>2</sub>O<sub>3</sub> using Al(OC<sub>2</sub>H<sub>5</sub>)<sub>3</sub> on n-type  $\text{Ga}_{x}\text{In}_{1-x}\text{As}$  ( $x=0.47$ ) and on n<sup>+</sup>-InP substrate, respectively. The results show that these MIS structures exhibit ideal C-V characteristics. The interface state density of  $2.4 \times 10^{11} \text{ cm}^{-2} \cdot \text{eV}^{-1}$  and oxide trapped charge of  $10^9 \sim 10^{10} \text{ cm}^{-2}$  were obtained for these MIS structures. The deep levels at  $E_c - E_T = 0.39 \text{ eV}$  and at  $E_c - E_T = 0.41 \text{ eV}$  were observed in GaInAs/SiO<sub>2</sub> and in GaInAs/Al<sub>2</sub>O<sub>3</sub>, respectively.

**KEY WORDS:** MIS Structures, Plasma-enhanced chemical vapor deposition, Metal organic chemical vapor deposition, C-V characteristics, Deep level transient spectroscopy, Interface state, Oxide trapped charge, Deep level